

ВЫСОКОМОЛЕКУЛЯРНЫЕ СОЕДИНЕНИЯ

Том (A) XVII

1975

№ 5

УДК 541.64:535.37

ПОЛЯРИЗОВАННАЯ ЛЮМИНЕСЦЕНЦИЯ ДЛЯ ПРОДОЛЬНЫХ КОМПОНЕНТ ОСЦИЛЛЯТОРОВ ИЗЛУЧЕНИЯ В ОСНОВНОЙ ЦЕПИ «МЕЧЕНЫХ» МАКРОМОЛЕКУЛ (ПОЛИМЕТИЛМЕТАКРИЛАТ)

Е. В. Ануфриева, Ю. Я. Готлиб, И. А. Торчинский

Предложена теория поляризованной люминесценции (ПЛ) для макромолекул с люминесцирующей группой-меткой (ЛМ), встроенной в основную цепь, для продольной составляющей осциллятора излучения. Теория построена для динамической вязкоупругой модели макромолекулы, учитывающей жесткость цепи на изгиб (модель Ониши – Херста – Харриса – Саймона). Получена теоретическая зависимость деполяризации люминесценции $1/P$ от отношения (τ_ϕ/τ^*) (где τ_ϕ – длительность люминесценции, τ^* – величина, пропорциональная времени вращательной диффузии кинетической единицы, не включенной в цепь) или от параметра T/η (T – абсолютная температура, η – вязкость растворителя). Значения величины $1/P$ и форма кривых $1/P$ (τ_ϕ/τ^*) (или $1/P(T/\eta)$) оказываются зависящими (при заданных размерах и коэффициенте трения кинетической единицы) от числа кинетических единиц $v = A/l$, содержащихся в статистическом сегменте цепи (от относительной термодинамической жесткости цепи). Из сопоставления теории с экспериментальными данными по ПЛ полиметилметакрилата с ЛМ в основной цепи в смешанном растворителе метилацетат – триадцептин следует, что наилучшее согласие теории с опытом имеет место, если принять, что размery и гидродинамический попеченик кинетической единицы для движения основной цепи ПММА практически близки или даже больше, чем размеры статистического сегмента (~шесть монозвеньев).

Сложность процессов внутримолекулярной подвижности в основной цепи не дает возможности выбрать заранее наилучшую упрощенную динамическую модель для макромолекулы заданного химического строения. Макромолекуле с преимущественным поворотно-изомерным механизмом релаксации следовало бы противопоставить дискретную решеточную модель [1, 2]. Если скорость релаксации в основном определяется континуальными безбарьерными стадиями движения (накоплением колебательных смещений [3, 4], кооперативным движением по многочастичным эквиденциональным поверхностям [5]), то предпочтительнее использовать континуальные вязкоупругие модели (модели Каргина – Слонимского [6, 7], Ониши [8], Херста – Харриса [9], Саймона [10] и др.). Выбор кинетической модели зависит также от пространственных и временных масштабов изучаемого релаксационного процесса.

В работах Ануфриевой и др. [11–13] по поляризованной люминесценции (ПЛ) полиметилметакрилата (ПММА) с люминесцирующей меткой (ЛМ) в основной цепи полимера было показано, что времена релаксации τ_w пропорциональны вязкости растворителя η при заданной температуре T . Эти времена определяют наклон линейного участка зависимости обратной поляризации $1/P$ от T/η при достаточно больших T/η . Поскольку оказалось, что температурная зависимость τ_w определяется только температурной зависимостью вязкости η (т. е. $\tau_w \sim c\eta$) и не содержит вклада, определяемого барьерами внутреннего вращения, то авторами [12] был сделан вывод о безбарьерном механизме движения в основной цепи ПММА. В противоположность этому времена релаксации, связанные в той или иной мере с движением бокового радикала ([14, 15], а также [11–13]), характеризуются температурной зависимостью, отличающейся от температурной зависимости $\eta(T)$. В этом случае энергия активации $U = d \ln \tau / d(1/RT)$ превышает энергию активации вязкого течения U_η , тогда как для движения в основной цепи ПММА $U \approx U_\eta$. (В работе [16] было показано также, что и для меченой полиамидокислоты с ЛМ в основной цепи в диметилформамиде (ДМФА) и в смешанных растворителях (ДМФА – глицерин) времена релаксации

пропорциональны вязкости растворителя η , и их температурная зависимость совпадает с температурной зависимостью $\eta(T)$. Теория ПЛ для этой системы будет обсуждена нами в дальнейшем.)

Теоретические конформационные расчеты [17, 18] свидетельствуют о большой заторможенности поворотной изомеризации в основной цепи ПММА. Приведенные выше данные свидетельствуют о том, что сложное движение в основной цепи ПММА контролируется вязкостью растворителя, а не барьерами внутреннего вращения и для его описания может быть использована вязкоупругая модель полимерной цепи. Недавно было предложено несколько вариантов таких моделей, учитывающих статистическую жесткость цепи на изгиб [8–10].

Основные задачи настоящей работы следующие: 1) разработка некоторых вопросов теории ПЛ для продольной (вдоль цепи) составляющей осциллятора излучения; 2) определение из экспериментальных данных по ПЛ значений параметров кинетических единиц для ПММА в рамках принятой модели.

Вязкоупругие модели, учитывающие жесткость на изгиб, кинетическая единица и статистический сегмент. В вязкоупругих моделях цепочка разбивается на элементарные участки, причем распределенное вдоль реальной цепи внешнее трение предполагается сосредоточенным в шарике-бусине. Основным собственно кинетическим параметром модели является коэффициент трения бусины ζ . Более строго следует считать, что каждый элементарный участок цепи моделируется гантелею с коэффициентом трения для каждой полубусины на концах гантели $\zeta/2$.

При сопоставлении цепочки из элементарных участков полубусины соседних гантелей дают целую бусину с коэффициентом трения ζ . Это обстоятельство надо принимать во внимание при моделировании неоднородных цепей. За кинетическую единицу в рассматриваемой модели цепи естественно принять участок между соседними бусинами (точнее полубусинами) – гантель, проекция которой на оси координат может изменяться независимо от проекций соседних участков. Размеры такого участка – кинетической единицы в реальной цепи, как уже отмечалось, заранее определить трудно и желательно иметь теоретический способ нахождения или оценки кинетической единицы из экспериментальных данных.

Далее в вязкоупругих моделях вводится квазиупругая потенциальная энергия взаимодействия бусин, позволяющая имитировать в среднем эффекты статистической жесткости, существующие в реальных цепях, из-за жесткости отдельных связей, валентных углов, стерических взаимодействий и других факторов, ограничивающих внутреннее вращение и допустимый конформационный набор цепей.

В известной модели Каргина – Слонимского – Рауза кинетическая единица совпадает со статистическим сегментом цепи. Действительно, вводимая там квазиупругая потенциальная энергия (для x -ых проекций)

$$V_{(K-C-P)} = \frac{1}{2} K \sum_j (x_j - x_{j-1})^2 = \frac{1}{2} K \sum_j U_j^2; \quad U_j = x_j - x_{j-1} \quad (1)$$

такова, что ориентации разных элементов оказываются статистически независимыми

$$\langle U_j U_k \rangle = \langle U_j^2 \rangle \delta_{jk} = \frac{kT}{K} \delta_{jk} \quad (2)$$

Ясно, что применение этой модели оправдано либо для тех цепей, у которых жесткие кинетические единицы действительно свободно сочленены друг с другом, либо же для столь крупномасштабных (длинноволновых) движений, характерные масштабы которых больше, чем размеры статистического сегмента, который в свою очередь больше, чем реальные кинетические единицы. Возможно, что первый случай имеет место для неструктурированных полиамидокислот в растворе [16, 19]. Если требуется анализ ситуаций, когда кинетическая единица меньше размеров ста-

тистического сегмента, то вводится модифицированная потенциальная энергия (по Ониши — Херсту — Харрису)

$$V_{x-x} = \frac{1}{2} \left\{ K \sum_j (x_j - x_{j-1})^2 + K_1 \sum_j (2x_j - x_{j-1} - x_{j+1})^2 \right\} \quad (3)$$

или по Саймону

$$V_C = \frac{1}{2} \left\{ K' \sum_j (x_j - x_{j-1})^2 - K_1' \sum_j (x_j - x_{j-2})^2 \right\} \quad (4)$$

Дополнительные квазиупругие взаимодействия V_i (или V'_i) учитывают конечную жесткость цепи на изгиб, в силу чего ориентации разных элементов перестают быть независимыми и

$$\langle U_i U_k \rangle \neq 0, \text{ если } U_i \neq U_k \quad (5)$$

Следует отметить, что в работе Саймона вводятся также члены, учитывающие жесткость цепи на закручивание, которые мы в рассматриваемом приближении опускаем. Теперь кинетическая единица в модели по-прежнему задается коэффициентом трения ζ и средними размерами (длиной участка) l , которые получаем из условия

$$l^2 = \langle (x_{j+1} - x_j)^2 + \dots + (x_{j+1} - x_1)^2 \rangle = 3 \langle U_j^2 \rangle = \varphi(K, K_1) \quad (6)$$

Усреднение $\langle \dots \rangle$ в уравнении (6) ведется по статистическому ансамблю с энергией (уравнения (3) или (4)). В то же время статистические свойства модели определяются либо из выражения для среднего квадрата длины (при $N \gg 1$)

$$\langle h^2 \rangle = 3 \left\langle \left(\sum_j U_j \right)^2 \right\rangle = N \Psi(K, K_1), \quad (7)$$

либо на основе вычисления средних косинусов углов между разными элементами с помощью усреднения (5). (φ и Ψ в выражениях (6) и (7) — функции от K и K_1 .) Отсюда можно найти и длину статистического сегмента A (или персистентную длину $a = l/A$) для изучаемой модели, если учесть [20], что для длинных (гауссовых) цепей из элементов — кинетических единиц

$$\langle h^2 \rangle = N A l, \quad (8)$$

где l вычисляется из соотношения (6). Сопоставление уравнений (7) и (8) дает искомые выражения для $A(K, K_1)$.

Для дальнейшего анализа удобно ввести величину, которая будет определять число кинетических единиц, содержащихся в статистическом сегменте

$$v = \frac{A}{l} \quad (9)$$

Величину v можно назвать относительной (по отношению к кинетической единице) термодинамической жесткостью цепи. Для цепей свободно-сочлененных из жестких элементов (кинетических единиц) $v=1$. Величину v , как мы увидим ниже, можно найти из экспериментальных данных по форме кривых $1/P(T/\eta)$, а задача теории сводится к установлению зависимости между поляризацией люминесценции, коэффициентом трения кинетической единицы ζ и относительной жесткостью (или числом кинетических единиц в сегменте) v . Поскольку величина A обычно известна из независимых некинетических экспериментов (из гидродинамических (вискозиметрических) измерений, светорассеяния, динамического

двойного лучепреломления и др.), то определив v из кинетических свойств, мы можем дать оценку величины кинетической единицы l .

Статистические свойства и спектр времен релаксации используемых вязкоупругих моделей. Расчеты и усреднение с потенциальными функциями (3) и (4) приводят к следующим выражениям для $\langle h^2 \rangle$ (уравнение (7)) и l^2 (уравнение (8)) как функциям от силовых постоянных K , K_1 или K' , K'_1 (при $N \gg 1$)

$$\langle h^2 \rangle = N \frac{3kT}{K} \equiv NAl \quad (10); \quad l^2 = \frac{3kT}{\sqrt{K^2 + 4KK_1}} \quad (11)$$

для модели Херста — Харриса — Ониши, и

$$\langle h^2 \rangle = N \frac{3kT}{K' - 4K'_1} \quad (12); \quad l^2 = \frac{3kT}{\sqrt{(K')^2 - 4K'K'_1}} \quad (13)$$

для модифицированной модели Саймона (без упругости на кручение).

Из выражений (10), (11) или (12), (13) находим искомое число кинетических единиц в сегменте v как функцию от K и K_1 (K' , K'_1)

$$v = \frac{A}{l} = \frac{\langle h^2 \rangle}{Nl^2} = \begin{cases} \sqrt{1 + \frac{4K_1}{K}} & \text{для модели Херста — Харриса} \\ \frac{1}{\sqrt{1 - \frac{4K'_1}{K'}}} & \text{для модели Саймона} \end{cases} \quad (14)$$

Важным статистическим параметром моделей является средний косинус угла между соседними кинетическими единицами $-\xi = \langle \cos(e_j e_{j+1}) \rangle$, мерой которого является отношение $\langle U_j U_{j+1} \rangle / \langle U_j^2 \rangle$

$$\xi = \frac{\langle U_j U_{j+1} \rangle}{\langle U_j^2 \rangle} \quad (16)$$

Расчеты приводят к

$$\xi = \left(1 + \frac{K}{2K_1} - \frac{K}{2K_1} \sqrt{1 + \frac{4K_1}{K}} \right) \quad (17)$$

$$\xi = \left(\frac{K'}{2K'_1} \left(1 - 2 \frac{K'_1}{K'} \right) - \sqrt{1 - \frac{4K'_1}{K'}} \right) \quad (18)$$

Примечательно, что для обоих типов моделей оказывается

$$v = \frac{A}{l} = \frac{1 + \xi}{1 - \xi}, \quad (19)$$

что действительно имеет место для моделей цепи из жестких элементов длиной l с заторможенностью внутреннего вращения, зависящей только от угла между соседними элементами.

Уравнения движения для рассматриваемых моделей имеют обычный вид [6, 7]

$$\zeta x_j + \frac{\partial V}{\partial x_j} = 0 \quad (20)$$

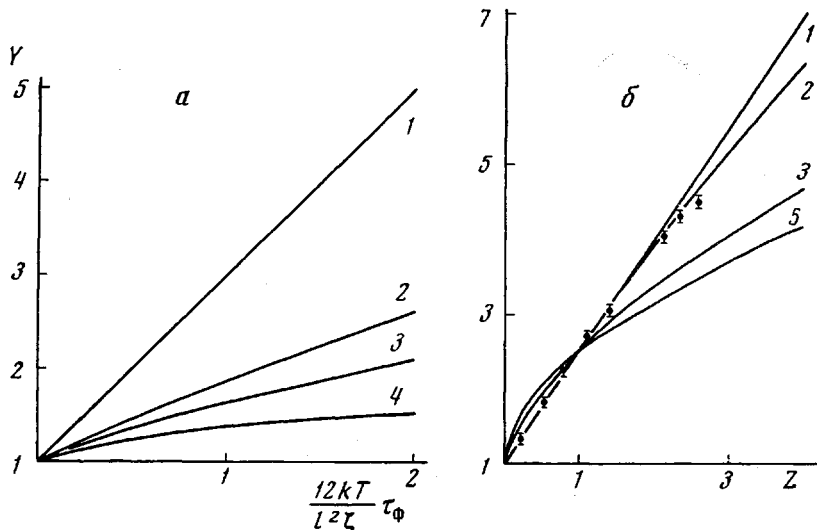
Отсюда с помощью обычной процедуры находим спектр времен релаксации (для x_j или U_j) $\tau(\psi, K, K_1)$ или $\tau(\psi, K', K'_1)$, где ψ — волновое число.

Оказывается, что если K и K_1 и, соответственно, K' и K'_1 выразить через инвариантные относительно вида модели параметры A и l , то разли-

чавшиеся первоначально по форме $\tau(\psi, K, K_1)$ и $\tau(\psi, K', K'_1)$ примут одинаковый вид

$$\frac{1}{\tau(\psi)} = \lambda(\psi) = \frac{12kT}{l^2\zeta} v \sin^2 \frac{\psi}{2} \left[1 - \left(1 - \frac{1}{v^2} \right) \cos^2 \frac{\psi}{2} \right] \quad (21)$$

Таким образом, модели Херста – Харриса и Саймона, описывающие статистически эквивалентные цепи из жестких звеньев – кинетических единиц длиной l и со статистическим сегментом A , равным vl , эквивалентны и по своим релаксационным свойствам друг другу.



Зависимость относительной деполяризации люминесценции Y от величины $\frac{12kT}{l^2\zeta} \tau_\phi$ (а) и Z (б) для свободной, не связанной с цепью кинетической единицы (1); для свободно-сочлененной цепи $A/l=1$ (2) и для модели Херста – Харриса – Саймона при $A/l=2$ (3); 4,5 (4) и 3 (5). Точки – экспериментальные данные [25]

Поляризованная люминесценция. Вычисление поляризации люминесценции P для «продольного» осциллятора излучения, ориентированного вдоль оси кинетической единицы в рассматриваемой модели проводится с помощью известных соотношений [11, 21] и приближений, развитых, использованных и обсужденных в работах Валя [21] и авторов [22]. Как показано в [11, 22], величина $Y=f(P)$ выражается через квадрат коррелятора $\langle U_i(0)U_i(t) \rangle = G(t)$

$$Y = (1/P + 1/3) / \left(\frac{1}{P_0} + \frac{1}{3} \right) = 1 / \left(\frac{9}{l^4} \frac{1}{\tau_\phi} \int_0^\infty e^{-t/\tau_\phi} G^2(t) dt \right), \quad (22)$$

где U_i – проекция кинетической единицы с ЛМ на ось координат.

На рисунке, а представлено полученное в результате расчета на принятой вязкоупругой модели семейство кривых для фактора деполяризации люминесценции $Y=(1/P+1/3)/(1/P_0+1/3)$ (ср. [21]) как функции от параметра τ_ϕ/τ^* для макромолекул с различным значением $v=A/l$. Здесь P – поляризация, P_0 – предельная поляризация люминесценции [11], τ_ϕ – время жизни осциллятора в возбужденном состоянии, $\tau=\zeta l^2/12kT$. Заметим, что время вращательной диффузии гантеля, соответствующей не включенной в цепь кинетической единице длиной l с коэффициентом трения окаймляющих ее полубусин $\zeta/2$, равно $\tau_0=\zeta l^2/8kT$, т. е. $\tau^*=2/3\tau_0$. Прямая линия 1 на рисунке, а как раз отвечает зависимости $Y(\tau_\phi/\tau^*)$ для «свободной», не включенной в цепь кинетической единицы.

Для перехода к обычным координатам T/η следует использовать соотношение Стокса

$$\xi = \beta \pi \eta b, \quad (23)$$

где b — гидродинамический радиус сегмента, $\beta=6$ или 4 , в зависимости от того, происходит ли прилипание или проскальзывание на границе частицы (ср. [23]).

Из рисунка, *a* видны следующие основные качественные закономерности.

1. Даже свободное сочленение кинетических единиц в цепь (кривая 2) уменьшает деполяризацию люминесценции и соответственно увеличивает время вращательной диффузии заданной кинетической единицы с ЛМ из-за частичного увеличения «хвостов» цепи.

2. Увеличение относительной термодинамической жесткости цепи при заданной кинетической единице и в данном растворителе (при $\tau^*=\text{const}$), т. е. рост числа v кинетических единиц, содержащихся в статистическом сегменте, приводит к усилению корреляции между движением кинетической единицы и движением «хвоста» цепи (ср. [3]) и к дальнейшему уменьшению деполяризации люминесценции.

3. Увеличение относительной термодинамической жесткости цепи ведет ко все большему искривлению зависимости Y от τ_ϕ/τ^* или Y от T/η .

Динамическая взаимосвязь и статистическая корреляция кинетических единиц цепочки приводят к появлению спектра времен релаксации, входящего в корреляторы $G(t)$ и в $G^2(t)$ [22]. При этом в соответствии с общей теорией релаксационных свойств макромолекул с ограниченной термодинамической гибкостью ([3, 5]) этот спектр тем шире, чем больше относительная термодинамическая жесткость макромолекулы, т. е. чем больше v .

Такой вывод был сделан ранее [5] применительно к диэлектрической релаксации одиночного диполя, встроенного в цепь, т. е. к ситуации, которая близка по физическому смыслу к рассмотренной выше, и соответствует коррелятору $G(t)$ (а не G^2/t). В то же время из общей теории поляризованной люминесценции [11, 21, 24] вытекает, что большее уширение релаксационного спектра должно вести ко все большему искривлению зависимости $Y(\tau_\phi/\tau^*)$ (или $Y(T/\eta)$).

Анализ теоретических закономерностей в области достаточно больших T/η , когда $\tau_\phi > \tau^*$, приводит для свободно-сочлененной цепи к асимптотической форме

$$Y \sim (\tau_\phi/\tau^*) / \ln(\tau_\phi/\tau^*) \quad (24)$$

Этот результат означает, что при больших T/η кривые $Y(T/\eta)$ не имеют линейной асимптоты, как это бывает при ограниченных или быстро спадающих по интенсивности для больших τ релаксационных спектрах [21, 24]. Отсутствие линейной асимптоты при $T/\eta \rightarrow \infty$ не дает возможности строго определить по ее наклону средневзвешенное время релаксации τ_w [11, 21, 24], характеризующее вклад больших времен в поляризацию люминесценции. Поскольку наблюдаемая на опыте кривая $Y(T/\eta)$ ограничена некоторым конечным интервалом значений T/η и Y , то практически в качестве τ_w берется $\tau_{w,\text{эксп}}(T/\eta)$, определенное из наклона касательной к кривой $Y(T/\eta)$ при наибольшем достижимом на опыте T/η . Эта величина может быть определена и на основе развитой теории. Таким образом, определенные τ_w растут с ростом v (при данном T/η).

В то же время начальный наклон кривых $Y(T/\eta)$ (при $T/\eta \rightarrow 0$) оказывается независящим от $v=A/l$. Это свидетельствует о том, что среднее обратное время релаксации [11, 21, 24]; в основном определяемое вкладом малых времен в релаксационный спектр, не зависит от относительной термодинамической жесткости.

Сопоставление теории с опытом. При анализе экспериментальных данных, сопоставлении теории с опытом и нахождении размеров кинетической единицы l (или v) мы не имеем возможности непосредственно использовать теоретические кривые рисунка, *a*, поскольку в τ^* входят заранее неизвестные величины $\zeta(l)$ и l , или b и l (уравнение (23)). Не зная b и l , нельзя теоретические кривые перестроить в экспериментальных координатах $Y-T/\eta$. Однако оказывается возможным сопоставление формы экспериментальных и теоретических зависимостей в приведенных координатах, исключающих неизвестный масштабный фактор на оси абсцисс. Для этого введем новую безразмерную переменную

$$Z = \frac{[\tau_\phi/\tau^*(T/\eta)]}{[\tau_\phi/\tau^*(T/\eta)_0]} = \frac{(T/\eta)}{(T/\eta)_0}, \quad (25)$$

где за $(T/\eta)_0$, при котором $Z=1$, принимается такое значение T/η (или τ_ϕ/τ^*), для которого Y равно некоторому заданному фиксированному значению $Y=Y_0 > 1$. В новых координатах все зависимости пересекаются в $Y=Y_0$ при $Z=1$.

Переход к новым координатам позволяет более наглядно сопоставлять форму различных теоретических кривых семейства $Y(T/\eta)$ (для разных $v=A/l$) (рисунок, *b*) и сравнивать их с экспериментальными.

На рисунке, *b* представлены экспериментальные данные [11, 25] для меченого ПММА с ЛМ в основной цепи в смешанном растворителе метил-акетат – триacetин и семейство теоретических кривых в приведенных координатах. За Y_0 выбрано $Y=2,5$, чему отвечает $T/\eta=300 \cdot 10^2$. Из сравнения экспериментальной и теоретических кривых следует вывод о том, что наилучшее совпадение теории с экспериментом получается при предположении о том, что $v \approx 1$ (т. е. $l \approx A$). Таким образом, размеры кинетической единицы, определенные в рамках вязкоупругой модели цепи, обладающей жесткостью на изгиб, оказываются того же порядка, что и размеры статистического сегмента. Напомним, что статистический сегмент ПММА, величина которого оценивается из данных по светорассеянию, двойному лучепреломлению и др., содержит шесть монозвеньев ПММА ([20], стр. 287). Такой средний размер кинетической единицы, учитывая значительную заторможенность внутреннего вращения в ПММА [17, 18], не следует считать чрезмерно большим. Необходимо отметить, что полученный вывод о том, что $v \approx 1$ и $l \approx A$, означает, что поскольку кинетическая единица сравнима по размерам со статистическим сегментом, то соответственно и соседние кинетические единицы являются также и статистически независимыми, и макромолекула проявляет себя (в данной модели) в релаксационных свойствах как «свободно-сочлененная» цепь (из кинетических единиц).

Следующий этап сравнения теории и опыта сводится уже не к сопоставлению формы кривых в безразмерных приведенных переменных, а связан с сопоставлением численных значений Y (или деполяризации) при заданном T/η , или, что то же самое, с выбором определенного масштабного фактора на оси абсцисс. Это сопоставление дает возможность оценить гидродинамический поперечник b кинетической единицы, входящий в ζ (уравнение (23)) и в τ^* . Если принять $l=A$, и сравнить $Y_{\text{эксп}}$ и $Y_{\text{теор}}$ при $T/\eta=780 \cdot 10^2$, то полагая $\beta=6$ в уравнении (23) (случай «прилипания»), мы находим в $b \sim 1,2 l=1,2 A$ (если $\beta=4$, то соответственно в $b \approx 1,8 A$). Легко видеть, что при заданном $Y_{\text{эксп}}=Y_{\text{теор}}$ и фиксированном T/η произведение $\zeta l^2=\text{const}$, $bl^2=\text{const}$ или $b=\text{const}/l^2$. Отсюда следует, что выбор меньших значений l/A и l привел бы к большим значениям b/l , что не является физически оправданным. Действительно, гидродинамический поперечник b может быть скорее всего $\sim A$ или даже менее A .

Таким образом, построенная теория в рамках вязкоупругой модели цепи позволяет оценить хорошо согласующиеся друг с другом значения

размеров гидродинамического поперечника кинетической единицы в меченом ПММА, которые оказываются того же порядка, что и длина A статистического сегмента ПММА. Заметим, что предположение о том, что $l > A$ в рамках нашей модели также соответствовало бы модели гауссовых субцепей (кривая 2, рисунок, а). При этом значение величины гидродинамического поперечника кинетической единицы оказалось бы меньше, чем A , что является физически оправданным. Приведенная выше оценка размеров кинетической единицы является в этом смысле нижним пределом. Поэтому мы полагаем, что учет наличия люминесцирующей группы, встроенной в сегмент, не сильно влияет на выводы настоящей работы. Некоторые изменения в значениях найденных из опыта параметров могут быть получены, если учесть эффект внутренней вязкости в цепи, что будет предметом обсуждения в дальнейшем.

Институт высокомолекулярных
соединений АН СССР

Поступила в редакцию
25 II 1974

ЛИТЕРАТУРА

1. Ю. Я. Готлиб, А. А. Даринский, Сб. Релаксационные явления в полимерах, «Химия», 1972, стр. 283.
2. Ю. Я. Готлиб, А. А. Даринский, Высокомолек. соед., А11, 2400, 1969.
3. Ю. Я. Готлиб, Сб. Релаксационные явления в полимерах, «Химия», 1972, стр. 263.
4. Ю. Я. Готлиб, Ю. Е. Светлов, Сб. Механизмы релаксационных явлений в твердых телах, «Наука», 1972, стр. 215.
5. Ю. Я. Готлиб, Диссертация, 1970.
6. В. А. Каргин, Г. Л. Слонимский, Краткие очерки по физико-химии полимеров, «Химия», 1967.
7. В. А. Каргин, Г. Л. Слонимский, Докл. АН СССР, 62, 239, 1948.
8. T. Onishi, J. Phys. Soc. Japan, 13, 1439, 1958.
9. R. A. Harris, J. E. Hearst, J. Chem. Phys., 44, 2595, 1966.
10. E. Simon, J. Chem. Phys., 52, 3879, 1970.
11. Е. В. Ануфриева, Ю. Я. Готлиб, М. Г. Краковяк, С. С. Скороходов, Высокомолек. соед., А14, 1430, 1972.
12. Е. В. Ануфриева, М. В. Волькенштейн, Ю. Я. Готлиб, М. Г. Краковяк, С. С. Скороходов, Т. В. Шевелева, Докл. АН СССР, 194, 1108, 1970.
13. Е. В. Ануфриева, М. В. Волькенштейн, Ю. Я. Готлиб, М. Г. Краковяк, И. А. Торчинский, Т. В. Шевелева, Изв. АН СССР, серия физич., 34, 518, 1970.
14. Г. П. Михайлов, А. М. Лобанов, М. П. Платонов, Высокомолек. соед., 8, 692, 1966.
15. A. M. North, P. J. Phillips, Trans. Faraday Soc., 63, 1537, 1967.
16. Е. В. Ануфриева, В. Д. Паутов, Ф. С. Флоринский, Т. В. Шевелева, Тезисы XVIII конференции по высокомолекулярным соединениям, «Наука», 1973, стр. 164.
17. Ф. П. Григорьева, Т. М. Бирштейн, Ю. Я. Готлиб, Высокомолек. соед., А9, 580, 1967.
18. Ф. П. Григорьева, Ю. Я. Готлиб, Высокомолек. соед., А10, 339, 1968.
19. Ю. Я. Готлиб, Ю. Е. Светлов, Тезисы XVIII конференции по высокомолекулярным соединениям, «Наука», 1973, стр. 134.
20. В. Н. Цветков, С. Я. Френкель, В. Е. Эскин, Структура макромолекул в растворе, «Наука», 1964.
21. P. Wahl, Theses Strasbourg, 1962.
22. Е. В. Ануфриева, Ю. Я. Готлиб, М. Г. Краковяк, И. Д. Торчинский, Г. В. Шевелева, Б. В. Шестопалов, Высокомолек. соед., А14, 2538, 1973.
23. А. Г. Ламб, Гидродинамика, Гостехиздат, 1947.
24. G. Weber, Biochem. J., 51, 155, 1952.
25. Т. В. Шевелева, Диссертация, 1973.